

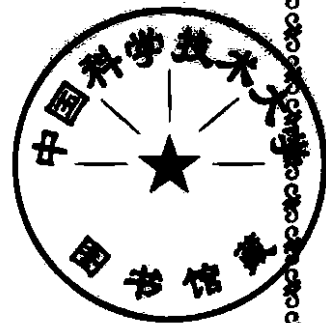
非定常空气动力计算

管德著

北京航空航天大学出版社

非定常空气动力计算

管德著



北京

(京)新登字166号

内 容 简 介

本书主要内容是：非定常空气动力计算的发展；基本约定；Navier-Stokes方程和Euler方程；速度势方程；小扰动速度势方程；线化升力面问题的奇异；亚音速偶极子-马蹄涡网格法；超音速偶极子网格法；组合体的非定常空气动力计算；任意运动的非定常空气动力计算；跨音速小扰动有限差分法等。作者具有丰富的工程实践和教学经验。本书具有较高的学术价值和工程实用价值。

它既可做为高等学校研究生教材，也可做为高级工程技术人员的参考书。

非定常空气动力计算

FEIDINGCHANG KONGQIDONGLI JISUAN

管 德 著

责任编辑 陈桂彬 许传安

北京航空航天大学出版社出版

新华书店总店科技发行所发行 各地书店经售

北京密云县华都印刷厂印装

* * *

850×1168 1/32 印张：8.25 字数：221千字

1991年11月第一版 1991年11月第一次印刷 印数：1500册

ISBN 7-81012-275-4/V·022 定价：5.50元

引 言

本书是作者根据自己多年来在北京航空航天大学讲授《非定常空气动力计算》课程的讲稿整理而成的。

非定常空气动力计算，是气动弹性计算的重要组成部分，也是气动弹性领域中的一个非常活跃的分枝。几十年来，随着飞机设计的需要和计算机能力的提高，非定常空气动力计算有了巨大的发展变化，基于线化理论的三维亚、超音速非定常空气动力计算方法，已在飞机设计部门广泛应用，基于非线性小扰动方程的三维跨音速非定常空气动力计算方法，已经进入工程应用，基于全位势方程、Euler方程，乃至Navier-Stokes方程的各种非定常空气动力计算方法的研究工作，正在蓬勃发展，本书希望能够适应这种新的情况。

在基本方程的介绍方面，本书从完全气体的Navier-Stokes方程入手，而后，引入理想气体假设，成为Euler方程，再引入无旋假定，成为全位势方程，最后，引入小扰动假定，导出非线化和线化小扰动方程。这样，力图给读者以略为系统的概念。

在计算方法的介绍方面，本书略去了二维方法和升力线方法，直接从三维方法开始，介绍当今广为应用的典型计算方法。对于线化三维亚、超音速非定常空气动力计算，比较详细地介绍了偶极子网格法；对于三维跨音速非定常空气动力计算，则介绍了基于非线性小扰动方程的有限差分法。对于二维方法和升力线方法有兴趣的读者，可以很容易地从已有的其他书籍中找到。

作者特别感谢航空航天工业部六一一研究所的程坤仪高级工程师。她推导了本书的大部分内容。作者曾多次同她讨论，使许多问题更加清晰。没有她的帮助，本书是无法完成的。

作者感谢中国空气动力研究发展中心的张建柏副研究员。他专门向作者提供了关于跨音速有限差分法的详尽资料。

本书肯定有差错和不当之处，希望得到指正。

作者

1991年5月

符 号 说 明

| | |
|-------------------|-----------------------|
| A | 空气动力 |
| A_0, A_1, \dots | 系数, 见各有关章 |
| \bar{A} | 广义空气动力 |
| a | 音速 |
| \bar{a} | 加速度 |
| B | $(M^2 - 1)^{1/2}$ |
| B_0, B_1, \dots | 系数, 见各有关章 |
| b | 翼面弦长 |
| b_0 | 翼根弦长 |
| C_p | 定压比热 |
| C_v | 定容比热 |
| C_0, C_1, \dots | 系数, 见各有关章 |
| c | 系数, 见各有关章 |
| \bar{c} | 翼面相对厚度 |
| c_p | 压力系数 |
| Δc_p | 压力系数差 |
| D | 空气动力影响系数, 类型相关差分算子 |
| E | 激励力 |
| \bar{E} | 广义激励力 |
| e | 自然对数的底 |
| \exp | 指数函数, $\exp(x) = e^x$ |
| F | 振型矩阵 |
| F_0, F_1, \dots | 函数, 见各有关章 |
| \bar{F} | 体力 |
| f | 振型 |
| \bar{f} | 体力密度 |

| | |
|------------------------------------|---|
| $G(i\omega)$ | Fourier变换 |
| G, \bar{G} | 基本解时间函数 |
| g | 结构阻尼系数 |
| H | 热能, 导纳 |
| \bar{h} | 总能量 |
| I_0, I_1, \dots | 积分, 见各有关章 |
| i | $\sqrt{-1}$ |
| J_0, J_1, \dots | 积分, 见各有关章 |
| $K, K_1, K_2,$ K_{10}, K_{20} | 核函数 |
| \bar{K} | 广义刚度 |
| k | 减缩频率 |
| k_1 | 频率参数 |
| l | 翼面展长, 网格展向积分变量 |
| l_B | 体的长度 |
| l_j | 网格 j 的 $1/4$ 弦线长度 |
| M | Mach数 |
| m | 质量 |
| m', \bar{m}' | 偶极子强度 |
| n | 法线方向 |
| O, o | 坐标原点 |
| P | 任意点 |
| P_0, P_1, \dots | 系数, 函数, 见各有关章 |
| ΔP | 体的非定常空气动力 |
| $\Delta \bar{P}$ | $\Delta P / [(1/2) \rho_\infty U_\infty^2]$ |
| Δp | 压力差 |
| $\Delta p'$ | 单位长度上的压力差 |
| Q, q | 源(汇)强度 |
| \bar{Q} | 热量 |

| | |
|--------------------|--------------------------|
| q | 广义位移 |
| R | 气体常数 |
| R, R', \bar{R} | 距离 |
| \bar{R}', r, r_1 | |
| R_B | 体半径 |
| R_e, I_m | 实部, 虚部 |
| S | 面积, 物面方程 |
| \bar{S} | 无量纲物面方程 |
| $S.P.$ | 奇异部分 |
| s | 熵, Laplace变量 |
| T | 绝对温度, 周期, 无量纲时间 |
| t | 时间, 积分变量(见有关章) |
| U | 速度 |
| u, v, w | x, y, z 向的气流 |
| V | 马蹄涡引起的扰动速度 |
| W | 无量纲下洗速度 |
| X, Y, Z | 变换座标, 见各有关章 |
| x, y, z | 直角座标 |
| x_i, y_i, z_i | 接收点(下洗点)座标 |
| x_j, y_j, z_j | 扰动点座标 |
| \bar{x}^n | 第 n 阶中值 |
| Δx | 网格平均弦长 |
| Z | 阻抗 |
| α | 角度 |
| β | $(1 - M_\infty^2)^{1/2}$ |
| Γ | 涡强度 |
| γ | 比热比 |
| δ | 厚度参数, 单位脉冲函数, 差分算子 |

| | |
|----------------------------------|-------------------|
| $\delta_0, \delta_1, \dots$ | 可变系数, 见各有关章 |
| ξ, η, ζ | 变换座标, 见各有关章 |
| Λ | 任意方向 |
| λ | 展向参数, 积分变量(见有关章) |
| μ | 粘性系数, Mach角 |
| ν | 厚度参数 |
| Π | 面力 |
| π | 面力密度 |
| ρ | 气体密度 |
| Σ | 积分区域 |
| σ | 体积 |
| τ | 时间, 积分变量(见有关章) |
| τ_{ij} | 粘性应力 |
| χ | 翼面后掠角 |
| ε | 小量, 见各有关章 |
| $\Phi, \bar{\Phi}, \tilde{\Phi}$ | 速度势, 见各有关章 |
| $\tilde{\Phi}, \phi, \phi'$ | |
| Ψ, ψ | 加速度势, 上反角 |
| Ω | 角速度 |
| ω | 频率 |
| $\bar{\omega}$ | $\omega/a\beta^2$ |
| 脚注 | |
| ∞ | 远前方 |
| c, t | 翼面弯度, 厚度 |
| e, i | 外部, 内部 |
| l_e, t_e | 前缘, 后缘 |
| l, r | 左, 右 |
| n, s, Δ | 法线方向, 切线方向, 任意方向 |

| | |
|-----------|--------------|
| R, I | 实部, 虚部 |
| S, N | 定常, 非定常 |
| x, y, z | x, y, z 方向 |
| W, B, I | 翼, 体, 干扰区 |
| 上, 下 | 上, 下表面 |
| 物, 气 | 物体, 气流 |

目 录

| | | |
|------------|--------------------------------------|--------|
| 第一章 | 非定常空气动力计算的发展 | (1) |
| 第二章 | 基本的约定 | (7) |
| 2·1 | 讨论的对象 | (7) |
| 2·2 | 坐标系 | (7) |
| 2·3 | 气体运动的描述 | (8) |
| 2·4 | 流场参数 | (10) |
| 2·5 | 完全气体 | (14) |
| 第三章 | Navier-Stokes方程和Euler方程 | (15) |
| 3·1 | 概述 | (15) |
| 3·2 | 连续方程 | (15) |
| 3·3 | 运动方程 | (17) |
| 3·4 | 能量方程 | (19) |
| 3·5 | 状态方程 | (22) |
| 3·6 | 应力 π 的处理 | (22) |
| 3·7 | Navier-Stokes方程 | (23) |
| 3·8 | 理想气体 | (27) |
| 3·9 | Euler方程 | (27) |
| 3·10 | 初始条件和边界条件..... | (28) |

| | | |
|------------|-----------------------------|--------|
| 第四章 | 速度势方程 | (30) |
| 4.1 | 概述 | (30) |
| 4.2 | 正压气体 | (30) |
| 4.3 | 无旋运动 | (31) |
| 4.4 | 速度势 | (35) |
| 4.5 | 加速度势 | (36) |
| 4.6 | 绝热流动, 等熵流动 | (36) |
| 4.7 | 速度势方程 | (37) |
| 4.8 | 初始条件和边界条件 | (42) |
| 4.9 | 压力系数 | (45) |
| 4.10 | 其他参数..... | (46) |
| 第五章 | 小扰动速度势方程 | (47) |
| 5.1 | 小扰动假定 | (47) |
| 5.2 | 速度势方程、物面条件、压力系数表达式的简化..... | (50) |
| 5.3 | 速度势方程、压力系数表达式的进一步简化..... | (57) |
| 第六章 | 线化速度势方程求解的基本思路 | (65) |
| 6.1 | 概述 | (65) |
| 6.2 | 叠加原理 | (65) |
| 6.3 | 弯度问题和厚度问题 | (66) |
| 6.4 | 线化升力面弯度问题的提法 | (69) |
| 6.5 | 速度势基本解 | (77) |
| 6.6 | 压力偶极子 | (82) |
| 6.7 | 谐振荡情况 | (84) |
| 6.8 | 基本解叠加的基本思路 | (88) |
| 6.9 | 基本解的选择示例 | (88) |
| 第七章 | 线化升力面问题的奇异积分方程 | (91) |

| | | |
|--------------------------------|--|-------|
| 7.1 | 概述 | (91) |
| 7.2 | 加速度势同速度势的关系 | (91) |
| 7.3 | 奇异积分方程 | (92) |
| 7.4 | 奇异积分方程的解法概述 | (96) |
| 第八章 亚音速偶极子-马蹄涡网格法 | | |
| 8.1 | 概述 | (100) |
| 8.2 | 核函数 K | (103) |
| 8.3 | 物面法向运动速度和空气动力影响系数 | (115) |
| 8.4 | 空气动力影响系数的定常和非定常部分 | (117) |
| 8.5 | 空气动力影响系数的非定常部分 D_{1ij} 和 D_{2ij} | (119) |
| 8.6 | 空气动力影响系数的定常部分 D_{0ij} | (129) |
| 8.7 | 对称性处理 | (139) |
| 8.8 | 应用示例 | (140) |
| 第九章 超音速偶极子网格法 | | |
| 9.1 | 概述 | (142) |
| 9.2 | 核函数 K | (144) |
| 9.3 | 下洗和空气动力影响系数 | (150) |
| 9.4 | 空气动力影响系数 D_{ij} 的计算 | (151) |
| 第十章 组合体的非定常空气动力计算 | | |
| 10.1 | 翼-翼组合 | (158) |
| 10.2 | 翼-体组合 | (162) |
| 10.3 | 体的非定常空气动力 | (166) |
| 10.4 | 影响系数 D_{WB} 和 D_{IB} | (169) |
| 10.5 | 应用示例 | (172) |

| | |
|----------------------------------|-------|
| 第十一章 任意运动的非定常空气动力计算 | (176) |
| 11.1 任意运动的各种形式..... | (176) |
| 11.2 动气动弹性方程的各种形式..... | (178) |
| 11.3 频率域计算..... | (179) |
| 11.4 时间域计算..... | (185) |
| 11.5 Laplace域计算..... | (190) |
| 第十二章 跨音速小扰动有限差分法 | (195) |
| 12.1 概述..... | (195) |
| 12.2 跨音速流动的某些特点..... | (196) |
| 12.3 跨音速小扰动非线性速度势方程..... | (198) |
| 12.4 边界条件和初始条件..... | (201) |
| 12.5 有限差分法的基本思路..... | (204) |
| 12.6 差分表达式..... | (208) |
| 12.7 时间积分..... | (213) |
| 12.8 二维低频差分方程..... | (215) |
| 12.9 交替方向隐式差分 (ADI) 方法..... | (217) |
| 12.10 边界条件的嵌入..... | (219) |
| 12.11 三维坐标变换和网格系统..... | (226) |
| 12.12 三维差分方程..... | (235) |
| 12.13 非定常空气动力计算..... | (238) |
| 12.14 应用示例..... | (241) |
| 参考文献..... | (245) |

第一章 非定常空气动力计算的发展

非定常空气动力计算是动气动弹性计算中的重要组成部分。

气动弹性力学是研究空气动力和弹性力交互作用的学科。气动弹性问题可以分成静气动弹性问题和动气动弹性问题两大类，见图1-1。

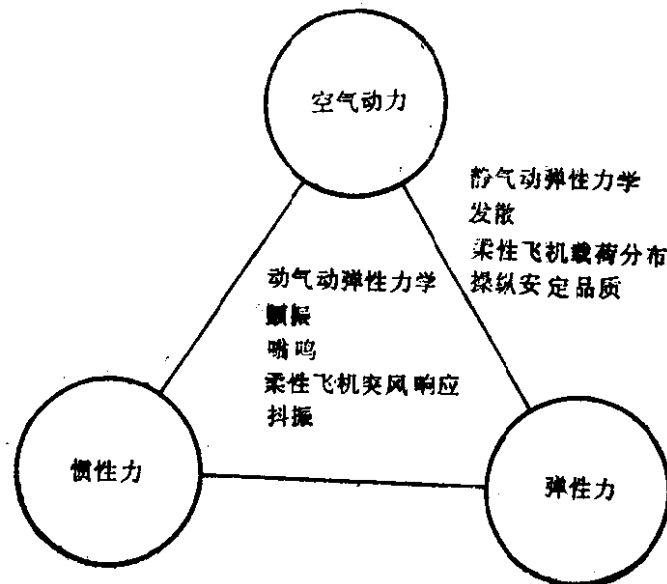


图1-1 气动弹性三角形

静气动弹性问题只涉及空气动力和弹性力的交互作用，如柔性飞机的载荷分布和操纵安定品质，以及发散等。

动气动弹性问题则涉及空气动力、弹性力和惯性力的交互作用，如柔性飞机对大气紊流的响应和抖振响应，以及颤振、嗡鸣等。

动气动弹性计算，需要两个方面的基础数据。一是结构动力特性，二是非定常空气动力特性。这两方面基础数据的可靠性，就决定了动气动弹性计算的可靠性。

因此，在回顾非定常空气动力计算的发展过程之前，先看一下气动弹性力学的发展，是令人感兴趣的。

气动弹性力学的发展，是同飞机设计的需要，以及计算、试

验条件的可能分不开的。

从固定翼飞机问世的第一天起，就遇到了气动弹性问题。

1903年，Langley的单翼机在做有动力的首次飞行时，就因为机翼折断而坠落在Potomac河中，事后才认识到，这是典型的机翼扭转发散。

第一次世界大战初期，Handley Page轰炸机又因为机身扭转刚度不够，发生了尾翼颤振。

为了分析这些问题，开始了第一批的飞机气动弹性研究。G. Brewer在1913年发表了关于Langley飞机机翼扭转发散的研究报告。F. W. Lanchester和L. Bairstow, A. Fage在1916年发表了关于Handley Page轰炸机尾翼颤振的研究报告。

二十年代，单翼机问世。对于扭转发散和颤振的研究，也取得了新的进展。1922年，A. Baumhauer和C. Koning提出了用质量平衡的方法防止操纵面颤振。1926年，H. Reissner提出了解决机翼扭转发散问题的措施。二十年代末，H. G. Küssner, W. J. Duncan, R. A. Frazer建立了机翼颤振的理论基础。1934年，Th. Theodorson获得了翼面——操纵面组合的二维不可压流谐振荡空气动力的精确解，建立了解析求解翼面颤振问题的有效方法。

第二次世界大战中，空军已经成为一个重要的军种。军用飞机型别之多，生产量之大，达到了惊人的程度。提高飞机的飞行速度，成为当时空战中制胜的一个重要手段。随之而来的，是一系列的操纵面、调整片颤振事故的发生。

但是，和今天的高性能飞机相比，那时的飞机，毕竟还是低速飞机。而且，翼的相对厚度较大，体的细长比较小。所以，飞机结构基本上是按强度要求设计的，气动弹性要求，还只处于校核性的地位。

其次，那时的飞机，机翼都是大展弦比的平直翼，平面形状比较单一。有可能制订具体的刚度规范和设计手册，

再者，那时的计算能力也很低。连二维不可压流中的翼面颤振计算的工作量，都被认为是惊人的繁重。

所以，那时的气动弹性工作的思路，大体上是，对于按强度要求设计的飞机结构，按刚度规范进行检查，对于不满足要求的情况，再做详细的气动弹性计算或试验。

第二次世界大战以后，喷气式飞机大量投入使用，飞行速度进入了高亚音速区。对于这种飞机，翼的平面形状应该说仍然比较单一，多是中等展弦比、中等后掠角的后掠翼。但是，翼的相对厚度减小，相对刚度水平下降。这时，飞机的某些部件是以气动弹性要求为设计条件。如后掠翼往往会以保证一定的副翼效率为设计条件。这时，就需要详细的气动弹性计算或试验。

当飞机进入超音速飞行以后，飞机的空气动力布局出现了多种多样的形式，如图1-2。这些飞机的翼面相对厚度更小，体的

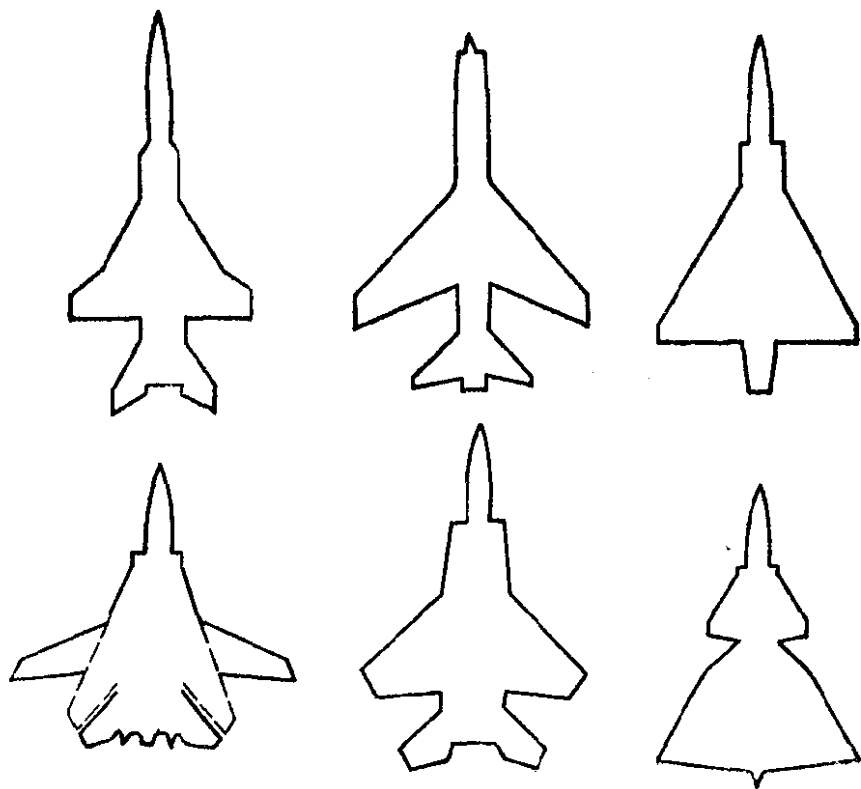


图1-2 飞机空气动力布局的多样化

细长比加大。于是，以气动弹性要求为设计条件的部件，越来越